



本章内容

6.1 引言

6.2 角度调制的基本概念

6.3 调频信号频谱分析及卡森带宽

6.4 调频信号的产生与解调

6.5 调频系统的抗噪声性能

6.6 加重措施对噪声特性的改善

6.7 频分复用 (FDM)

6.1 引言



角度调制分类：频率调制和相位调制

角度调制特点：通过改变载波频率或相位来实现

因为频率或相位的变化都可以看成是载波角度的变化，故这种调制称为角度调制。

角度调制是非线性调制

判断线性调制/非线性调制的依据：

设已调信号是调制信号 $f(t)$ 的函数,并表示为 $\varphi[f(t)]$ 。如 $\frac{d\{\varphi[f(t)]\}}{d[f(t)]}$

与 $f(t)$ 无关，则调制是线性的，否则便是非线性调制。

6.2 角度调制的基本概念



设正弦载波信号为 $C(t) = A\cos(\omega_0 t + \theta_0)$

角度调制信号可以表示如下：

$$S(t) = A\cos[\omega_0 t + \varphi(t)] = A\cos\theta(t)$$

$\varphi(t)$: 瞬时相位偏移；

$$\Delta\omega(t) = \frac{d\varphi(t)}{dt} : \text{瞬时角频率偏移；}$$

$\theta(t)$: 角度调制信号的瞬时相位；

$$\omega(t) = \frac{d\theta(t)}{dt} : \text{瞬时角频率。}$$

6.2.1 相位调制



相位调制 (PM---*Phase Modulation*)，简称调相，是指瞬时相位偏移随基带信号 $f(t)$ 成比例变化的调制，即

$$\varphi(t) = K_p f(t)$$

其中， K_p 为相移常数，相位调制信号可表示为

$$S_{\text{PM}}(t) = A \cos[\omega_0 t + K_p f(t)]$$

瞬时相位为： $\theta(t) = \omega_0 t + K_p f(t)$

瞬时角频率为： $\omega(t) = \frac{d\theta(t)}{dt} = \omega_0 + K_p \frac{df(t)}{dt}$

6.2.2 频率调制



频率调制 (FM---*Frequency Modulation*)，简称调频，是指瞬时角频率偏移随基带信号成比例变化的调制，即

$$\Delta\omega(t) = \frac{d\varphi(t)}{dt} = K_F f(t)$$

式中， K_F 为频移常数。调频信号表示为

$$S_{\text{FM}}(t) = A \cos \left[\omega_0 t + K_F \int_{-\infty}^t f(t) dt \right]$$

瞬时相位偏移： $\varphi(t) = \int_{-\infty}^t K_F f(t) dt = K_F \int_{-\infty}^t f(t) dt$

瞬时相位： $\theta(t) = \omega_0 t + K_F \int_{-\infty}^t f(t) dt$

瞬时角频率： $\omega(t) = \frac{d\theta(t)}{dt} = \omega_0 + K_F f(t)$

6.2.2 频率调制



调制指数： 瞬时相位偏移的最大值，记为 D_{FM} 及 D_{PM} 。当基带信号为简谐振荡，记为 β_{FM} 及 β_{PM} 。

例： 设基带信号为简谐振荡，即 $f(t) = A_m \cos \omega_m t$

调相信号

$$\begin{aligned} S_{PM}(t) &= A \cos[\omega_0 t + K_p f(t)] \\ &= A \cos[\omega_0 t + K_p A_m \cos \omega_m t] \\ &= A \cos[\omega_0 t + \beta_{PM} \cos \omega_m t] \end{aligned}$$

瞬时相位偏移： $\phi(t) = K_p A_m \cos \omega_m t$

调相指数： $\beta_{PM} = K_p A_m$

瞬时角频率偏移： $\Delta\omega(t) = \frac{d\phi(t)}{dt} = -K_p A_m \omega_m \sin \omega_m t$

6.2.2 频率调制



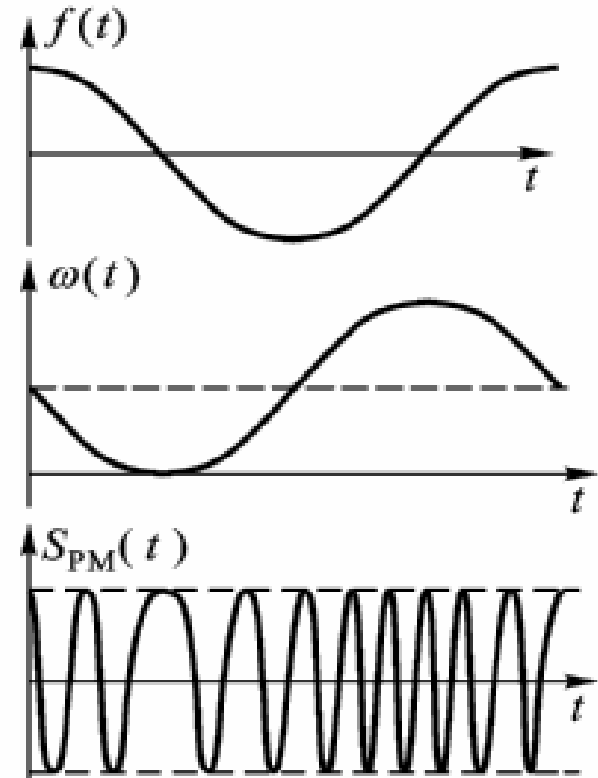
最大值: $\Delta\omega_{\max} = K_P A_m \omega_m$

瞬时相位: $\theta(t) = \omega_0 t + \beta_{PM} \cos \omega_m t$

瞬时角频率:

$$\omega(t) = \frac{d\theta(t)}{dt} = \omega_0 - \beta_{PM} \omega_m \sin \omega_m t$$

$$\beta_{PM} = \Delta\omega_{\max} / \omega_m$$



(a) 调相信号波形

6.2.2 频率调制



调频信号
$$S_{FM}(t) = A \cos[\omega_0 t + K_F A_m \int_{-\infty}^t \cos \omega_m t dt]$$
$$= A \cos[\omega_0 t + K_F A_m / \omega_m \sin \omega_m t]$$

瞬时相位
$$\theta(t) = \omega_0 t + K_F A_m / \omega_m \sin \omega_m t$$

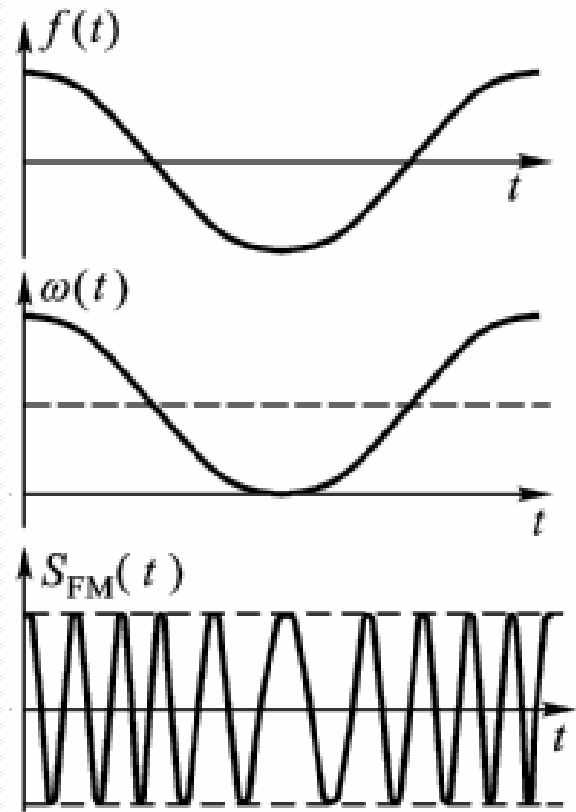
调频指数
$$\beta_{FM} = K_F A_m / \omega_m$$

瞬时角频率
$$\omega(t) = \frac{d\theta(t)}{dt} = \omega_0 + \beta_{FM} \omega_m \cos \omega_m t$$

瞬时角频率偏移
$$\Delta\omega(t) = \frac{d\phi(t)}{dt} = K_F A_m \cos \omega_m t$$

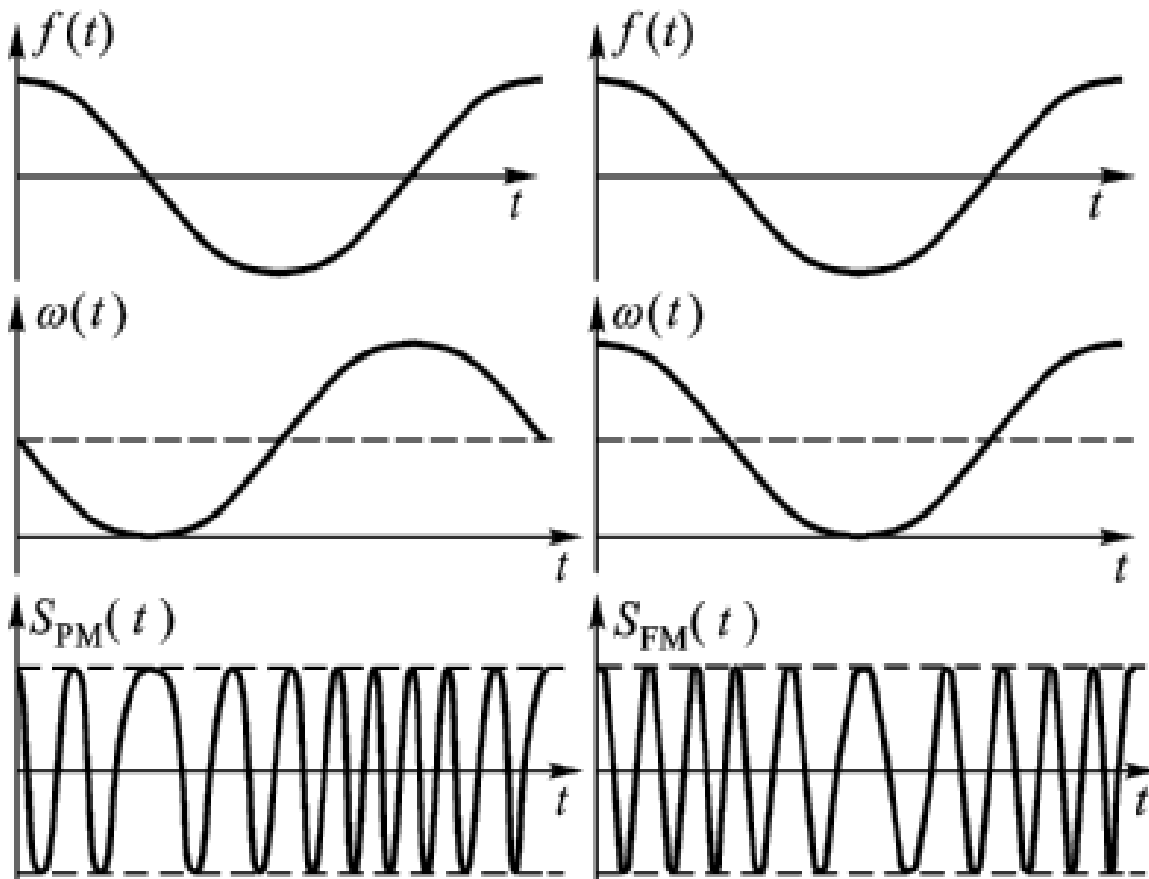
最大值:
$$\Delta\omega_{\max} = K_F A_m$$

$$\beta_{FM} = \Delta\omega_{\max} / \omega_m$$



(b) 调频信号波形

6.2.2 频率调制



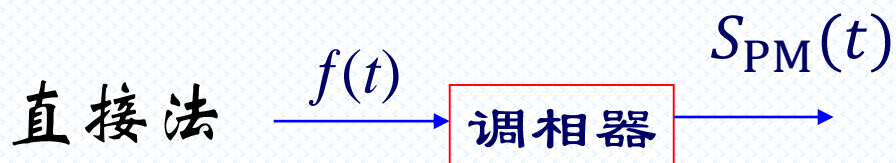
(a) 调相信号波形

(b) 调频信号波形

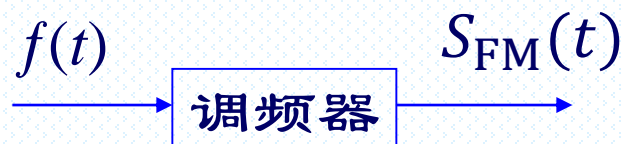
6.2.2 频率调制



角度调制信号两种产生方案：



(a)

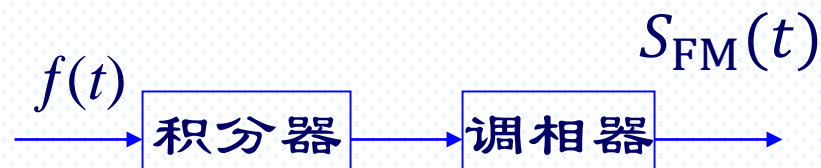


(a)

间接法



(b)



(b)

$$S_{PM}(t) = A \cos[\omega_0 t + K_P f(t)]$$

$$S_{FM}(t) = A \cos[\omega_0 t + K_F \int_{-\infty}^t f(t) dt]$$

PM波产生的两种方案

FM波产生的两种方案

6.3 调频信号频谱分析及卡森带宽



窄带调制与宽带调制：当最大瞬时相位偏移远小于 30° 时，称为窄带调制。否则就是宽带调制。

对频率调制，满足下式时

$$K_F \int_{-\infty}^t f(t) dt \Big|_{\max} \ll \frac{\pi}{6} \text{ 为窄带调频。}$$

由频率调制信号表示式

$$\begin{aligned} S_{FM}(t) &= A \cos[\omega_0 t + K_F \int_{-\infty}^t f(t) dt] \\ &= A \cos \omega_0 t \cos[K_F \int_{-\infty}^t f(t) dt] - A \sin \omega_0 t \sin[K_F \int_{-\infty}^t f(t) dt] \end{aligned}$$

满足窄带条件时 $\cos[K_F \int_{-\infty}^t f(t) dt] \approx 1$

$$\sin[K_F \int_{-\infty}^t f(t) dt] \approx K_F \int_{-\infty}^t f(t) dt$$

6.3.1 窄带调频 (NBFM)



所以，窄带调频信号可以表示为

$$S_{\text{NBFM}}(t) = A \cos \omega_0 t - \left[AK_F \int_{-\infty}^t f(t) dt \right] \sin \omega_0 t$$

对上式求傅里叶变换，得到NBFM波频谱密度函数为

$$S_{\text{NBFM}}(\omega) = \pi A \left[\delta(\omega - \omega_0) + \delta(\omega + \omega_0) \right] + \frac{AK_F}{2} \left[\frac{F(\omega - \omega_0)}{\omega - \omega_0} - \frac{F(\omega + \omega_0)}{\omega + \omega_0} \right]$$

从上式可以看出，窄带调频信号与调幅信号有相同的带宽，为基带信号 $f(t)$ 频率的两倍。



6.3.2 简谐信号调制时的宽带调频

设基带信号为 $f(t) = A_m \cos \omega_m t$ ，则

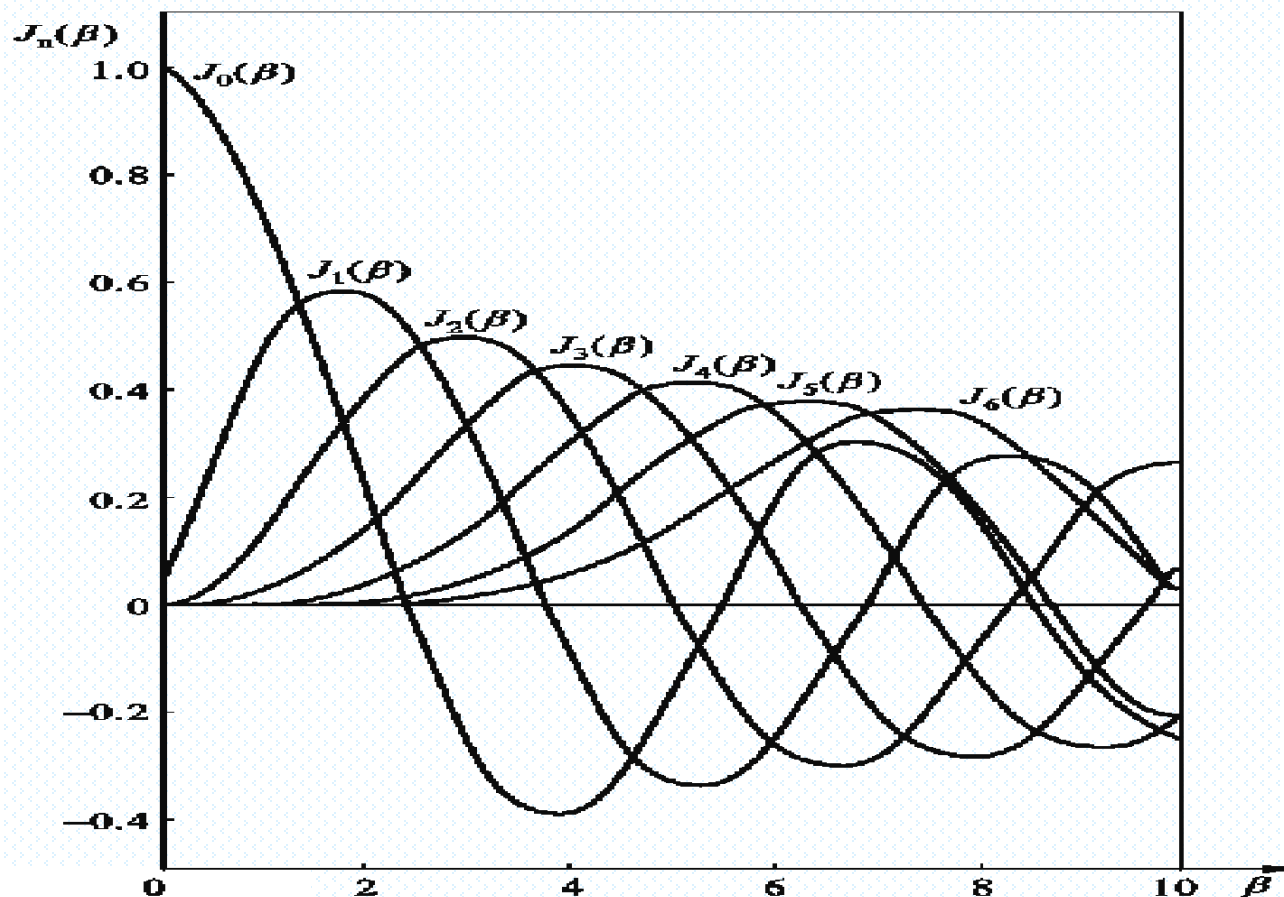
$$\begin{aligned} S_{\text{FM}}(t) &= A \cos\left[\omega_0 t + K_F \int_{-\infty}^t f(t) dt\right] \\ &= A \cos\left[\omega_0 t + \frac{A_m K_F}{\omega_m} \sin \omega_m t\right] = A \cos(\omega_0 t + \beta_{\text{FM}} \sin \omega_m t) \end{aligned}$$

式中， $\beta_{\text{FM}} = \phi(t)|_{\max} = \frac{A_m K_F}{\omega_m}$ 为调频指数

利用三角展开式，有

$$\begin{aligned} \sin(\beta_{\text{FM}} \sin \omega_m t) &= 2 \sum_{n=1}^{\infty} J_{2n-1}(\beta_{\text{FM}}) \sin(2n-1)\omega_m t \\ \cos(\beta_{\text{FM}} \sin \omega_m t) &= J_0(\beta_{\text{FM}}) + 2 \sum_{n=1}^{\infty} J_{2n}(\beta_{\text{FM}}) \cos 2n\omega_m t \end{aligned}$$

6.3.2 简谐信号调制时的宽带调频



6-4

贝塞尔函数曲线



6.3.2 简谐信号调制时的宽带调频

$$S_{\text{FM}}(t) = A \cos \omega_0 t \left[J_0(\beta_{\text{FM}}) + 2 \sum_{n=1}^{\infty} J_{2n}(\beta_{\text{FM}}) \cos 2n\omega_m t \right] \\ - A \sin \omega_0 t \left[2 \sum_{n=1}^{\infty} J_{2n-1}(\beta_{\text{FM}}) \sin(2n-1)\omega_m t \right]$$

上两式中, $J_n(\beta_{\text{FM}})$ 称为第一类 n 阶贝塞尔函数, 它是 n 和 β_{FM} 的函数。

贝塞尔函数有以下主要性质:

$$(1) J_{-n}(\beta_{\text{FM}}) = (-1)^n J_n(\beta_{\text{FM}})$$

$$(2) \text{当 } n > \beta_{\text{FM}} + 1 \text{ 时, } J_n(\beta_{\text{FM}}) \approx 0$$

$$(3) \sum_{n=-\infty}^{\infty} J_n^2(\beta_{\text{FM}}) = 1$$



6.3.2 简谐信号调制时的宽带调频

利用三角公式及贝塞尔函数性质，有

$$S_{\text{FM}}(t) = A \sum_{n=-\infty}^{\infty} J_n(\beta_{\text{FM}}) \cos(\omega_0 + n\omega_m)t$$

通过傅立叶变换,得到调频信号频谱密度函数

$$S_{\text{FM}}(\omega) = \pi A \sum_{n=-\infty}^{\infty} J_n(\beta_{\text{FM}}) \left[\delta(\omega - \omega_0 - n\omega_m) + \delta(\omega + \omega_0 + n\omega_m) \right]$$



6.3.2 简谐信号调制时的宽带调频

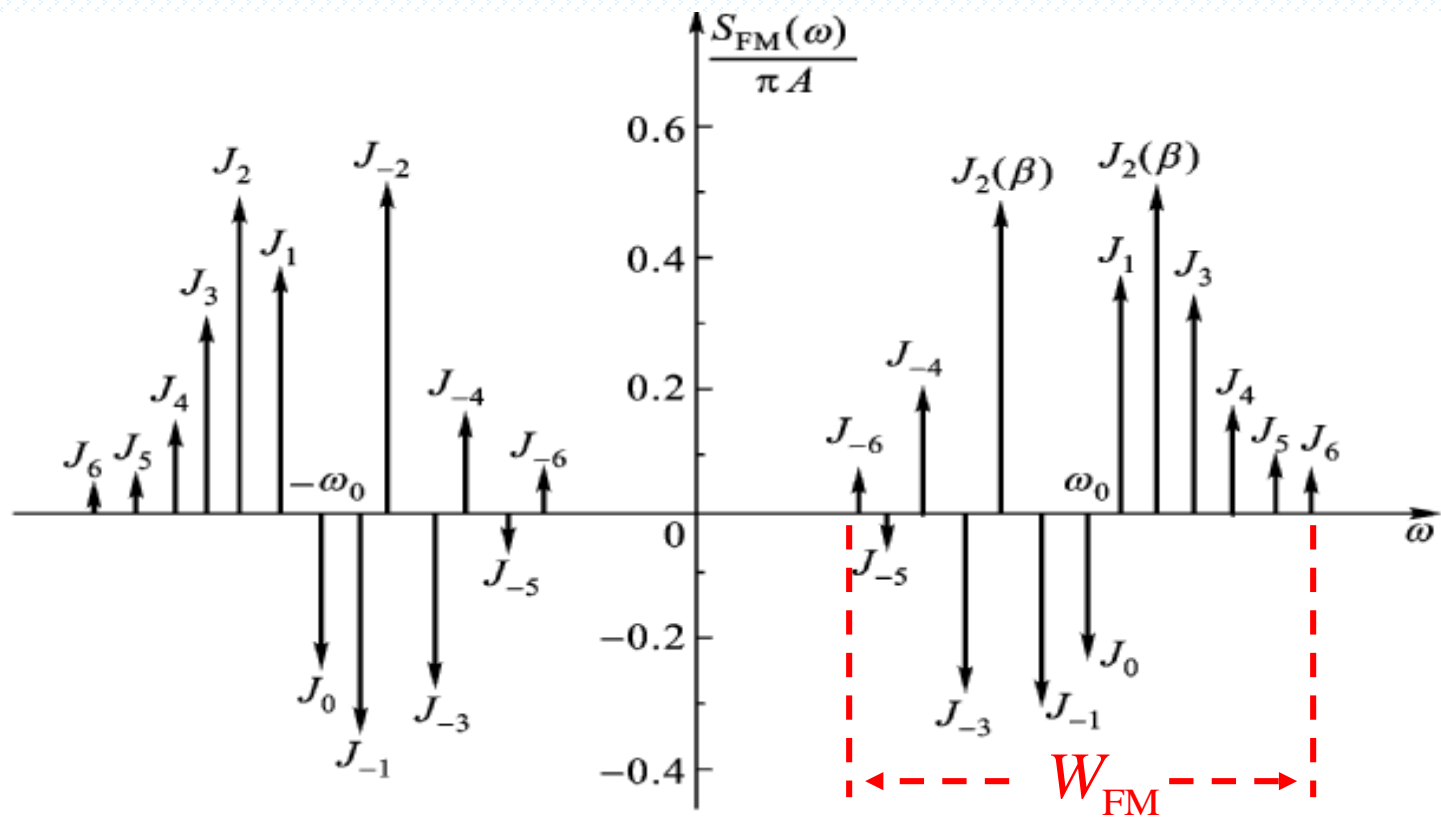


图6.5 简谐信号调制时调频波的频谱结构



6.3.2 简谐信号调制时的宽带调频

结论:

- (1) 频谱由位于载频处的两个冲激, 以及载频两边无穷多个离散边频分量组成。
- (2) 理论上调频信号有无穷多个边频分量, 频带为无穷宽。

由贝塞尔函数性质可知, 当 $n > \beta_{FM} + 1$ 时, $J_n(\beta_{FM}) \approx 0$, 调频信号有效频带宽度

$$B_{FM} = 2(\beta_{FM} + 1) f_m = 2(\Delta f_{\max} + f_m)$$

$$W_{FM} = 2(\beta_{FM} + 1) \omega_m = 2(\Delta \omega_{\max} + \omega_m)$$

- (3) 当 $\beta_{FM} \ll 1$ 时, $W_{FM} \approx 2\omega_m$;
当 $\beta_{FM} \gg 1$ 时, $B_{FM} \approx 2\Delta f_{\max}$



6.3.3 卡森带宽

对任意信号 $f(t)$ ，定义频率偏移率 D_{FM} ，它是最大角频率偏移与调制信号中最高频率值的比值，即

$$D_{FM} = \frac{\Delta\omega_{\max}}{\omega_m} = \frac{\Delta f_{\max}}{f_m}$$

此时，调频信号的带宽表示如下：

$$B_{FM} = 2(D_{FM} + 1)f_m \text{ (Hz)}$$

或

$$W_{FM} = 2(D_{FM} + 1)\omega_m \text{ (rad/s)}$$

当 $D_{FM} > 2$ 时， $B_{FM} = 2(D_{FM} + 2)f_m \text{ (Hz)}$

$$W_{FM} = 2(D_{FM} + 2)\omega_m \text{ (rad/s)}$$



6.4 调频信号的产生与解调

6.4.1 调频信号的产生

调制方法：直接调频、间接调频。

直接调频：采用压控振荡器（VCO）作为产生调频信号的调制器，压控振荡器的控制电压为基带信号。

间接调频：先将基带信号进行积分，然后去实施窄带调相，从而间接得到窄带调频信号。间接调频法又称阿姆斯特朗（Armstrong）法。

如果将窄带调频变为宽带调频，可采用倍频法。设平方律器件的输入信号为 $S_i(t) = A \cos[\omega_0 t + \varphi(t)]$ ，则有输出信号为

$$S_0(t) = A^2 \cos^2[\omega_0 t + \varphi(t)] = \frac{1}{2} A^2 + \frac{1}{2} A^2 \cos[2\omega_0 t + 2\varphi(t)]$$

6.4 调频信号的产生与解调



6.4.2 调频信号的解调

调频信号解调方法：**非相干解调法**，采用**鉴频器**。

鉴频器输出电压与输入信号频偏成正比。由于调频信号瞬时频率正比于调制信号幅度，因而鉴频器输出正比于调制信号幅度。

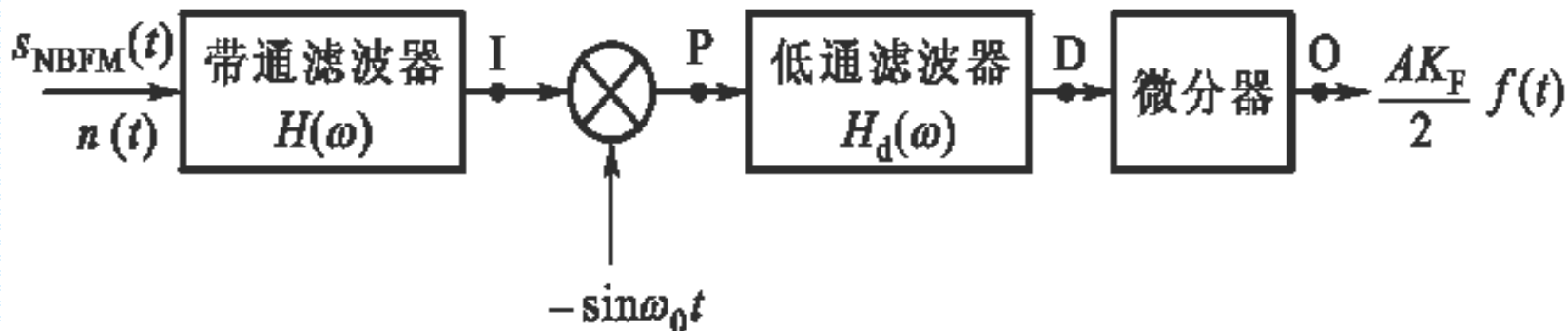
对调制信号进行微分，得到：

$$\frac{dS_{FM}(t)}{dt} = -A \left[\omega_0 + K_F f(t) \right] \sin \left[\omega_0 t + K_F \int_{-\infty}^t f(t) dt \right]$$

上式是一个调幅--调频信号，它经过包络检波器后即可获得基带信号 $f(t)$ 。因此，理想的鉴频器可看成微分器与包络检波器的级联。

对于窄带调频信号，因为窄带调频信号具有线性调制的特点。还可同步(相干)法进行解调。

6.4 调频信号的产生与解调



对窄带调频信号 $S_{NBFM}(t) = A \cos \omega_0 t - \left[AK_F \int_{-\infty}^t f(t) dt \right] \sin \omega_0 t$

相干载波 $C(t) = -\sin \omega_0 t$

相乘器的输出信号为

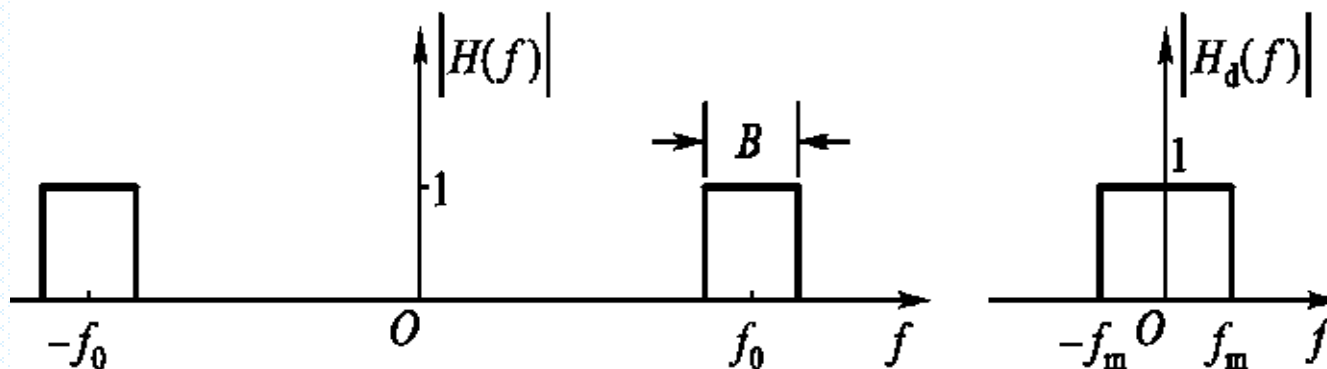
$$S_p(t) = -\frac{1}{2} A \sin 2\omega_0 t + \left[\frac{AK_F}{2} \int_{-\infty}^t f(t) dt \right] (1 - \cos 2\omega_0 t)$$

经低通和微分后，得到输出信号为 $S_o(t) = \frac{AK_F}{2} f(t)$

6.5 调频系统的抗噪声性能



6.5.1 窄带调频系统的抗噪声性能



带通滤波器及低通滤波器传输特性

解调器输入端的信号和高斯白噪声分别为：

$$S_i(t) = S_{NBFM}(t) \quad n_i(t) = n_c(t) \cos \omega_0 t - n_s(t) \sin \omega_0 t$$

$$\text{信号功率为 } S_i = A^2/2 \quad \text{噪声功率为 } N_i = \overline{n_i^2(t)} = n_0 B_{NBFM} = 2n_0 f_m$$



6.5.1 窄带调频系统的抗噪声性能

解调器输入端信噪比为

$$\frac{S_i}{N_i} = \frac{A^2}{4n_0 f_m}$$

解调器输出端信号为 $S_o(t) = \frac{AK_F}{2} f(t)$

输出端信号功率为 $S_o = \overline{S_o^2(t)} = \frac{A^2 K_F^2}{4} \overline{f^2(t)}$

解调器输出端噪声为 $n_o(t) = \frac{1}{2} \frac{dn_s(t)}{dt}$





6.5.1 窄带调频系统的抗噪声性能

$$\text{噪声功率为 } N_o = \overline{n_o^2(t)} = \frac{1}{4} \int_{-\infty}^{+\infty} P_0(f) df$$

式中， $P_0(f)$ 为噪声分量 $dn_s(t)/dt$ 的功率谱密度。且有

$$P_0(f) = |j\omega|^2 P_s(f)$$

式中， $P_s(f)$ 为噪声分量 $n_s(t)$ 的功率谱密度。

下面分析如何得到正交分量的功率谱密度。



6.5.1 窄带调频系统的抗噪声性能

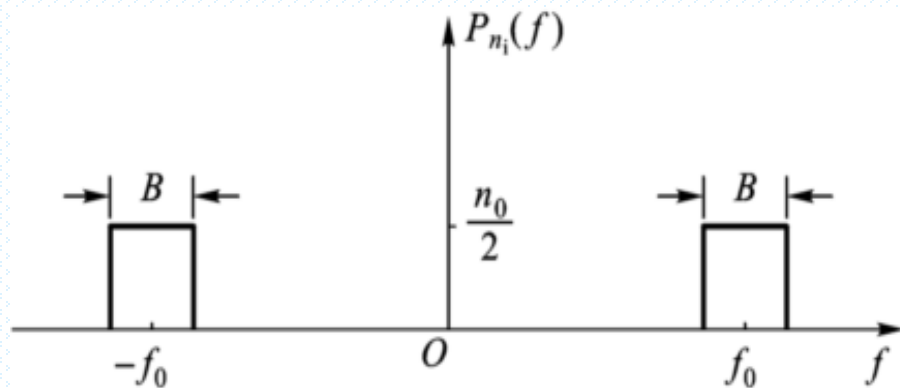
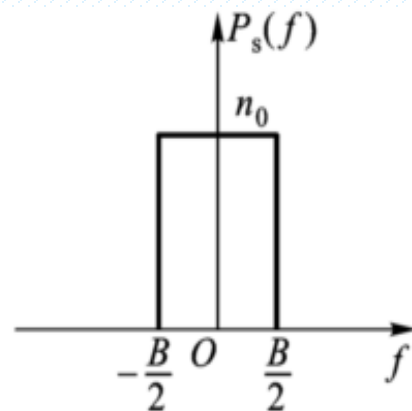
由第3章有：

$$n_i(t) = n_c(t) \cos \omega_0 t - n_s(t) \sin \omega_0 t$$

由上式可知，窄带噪声可视为同相分量与正交分量分别经过调制后的合成。由于窄带噪声是带宽为 B 的带通型噪声，而同相分量与正交分量是带宽为 $B/2$ 的低通型噪声，且它们具有相同的平均功率，因而它们的功率谱密度相差一倍。



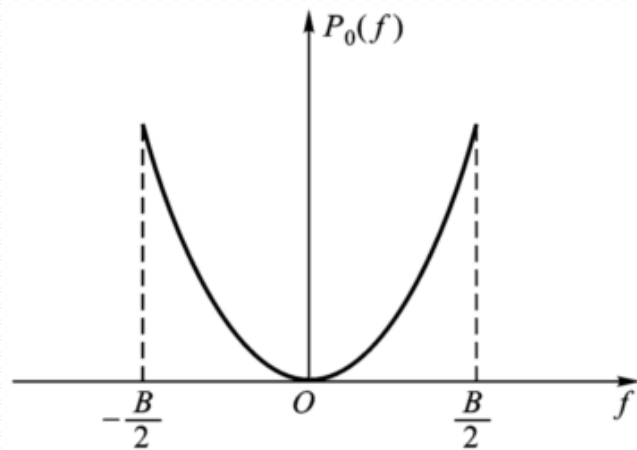
6.5.1 窄带调频系统的抗噪声性能

(a) $n_i(t)$ 功率谱(b) $n_c(t)$ 及 $n_s(t)$ 功率谱

由图有： $P_s(f) = n_0$ ， $|f| \leq B/2$

故有： $P_o(f) = (2\pi f)^2 n_0 = 4\pi^2 n_0 f^2$

即，噪声分量功率谱在频带内不是均匀分布的，而是与频率平方成正比。





6.5.1 窄带调频系统的抗噪声性能

解调器中低通滤波器是用来滤除调制信号频带以外的频率分量的。设低通滤波器截止频率为 f_m ，则可得到输出噪声功率为

$$N_o = \overline{n_o^2(t)} = \frac{1}{4} \int_{-f_m}^{+f_m} 4\pi^2 n_0 f^2 df = \frac{2\pi^2 n_0 f_m^3}{3}$$

这样，可得到解调器输出信噪比为：

$$\frac{S_o}{N_o} = \frac{3A^2 K_F^2 \overline{f^2(t)}}{8\pi^2 n_0 f_m^3}$$

调制制度增益(信噪比增益)为

$$G_{NBPM} = \frac{S_o/N_o}{S_i/N_i} = \frac{3K_F^2 \overline{f^2(t)}}{2\pi^2 f_m^2} \quad \left(\frac{S_i}{N_i} = \frac{A^2}{4n_0 f_m} \right)$$



6.5.1 窄带调频系统的抗噪声性能

$$G_{NBFM} = \frac{3K_F^2 \overline{f^2(t)}}{2\pi^2 f_m^2}$$

定义上式中 $K_F^2 \overline{f^2(t)}$ 为均方角频移，并表示为

$$\left(\Delta\omega(t) = \frac{d\varphi(t)}{dt} = K_F f(t) \right)$$

$$(\Delta\omega_{rms})^2 = K_F^2 \overline{f^2(t)} \quad \text{或} \quad (\Delta f_{rms})^2 = K_F^2 \overline{f^2(t)} / (4\pi^2)$$

将其代入上页式中，可得：

$$G_{NBFM} = 6 \left(\frac{\Delta f_{rms}}{f_m} \right)^2$$



6.5.1 窄带调频系统的抗噪声性能

$$G_{NBFM} = 6 \left(\frac{\Delta f_{rms}}{f_m} \right)^2$$

对窄带调频信号来说，显然有 $\Delta f_{rms} < f_m$ ，故 $G_{NBFM} < 6$ 。

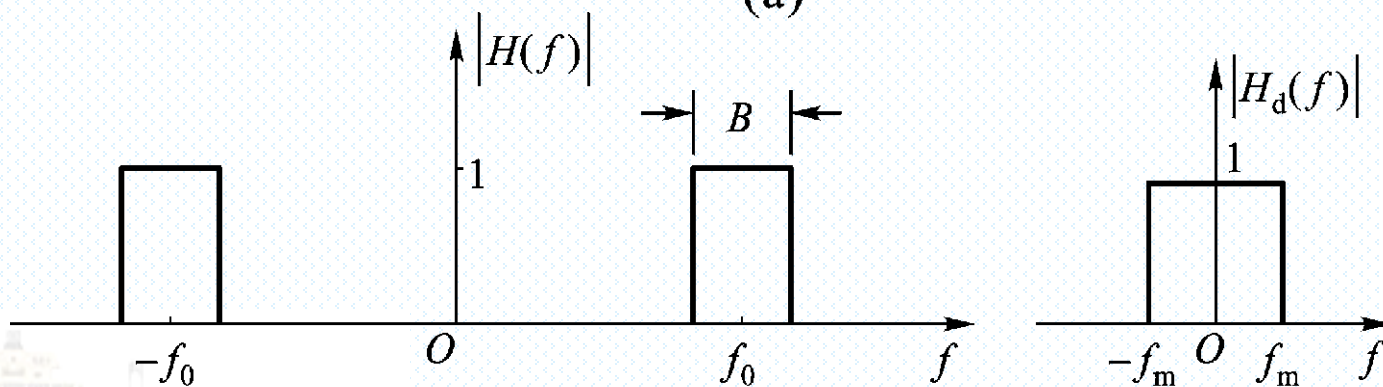
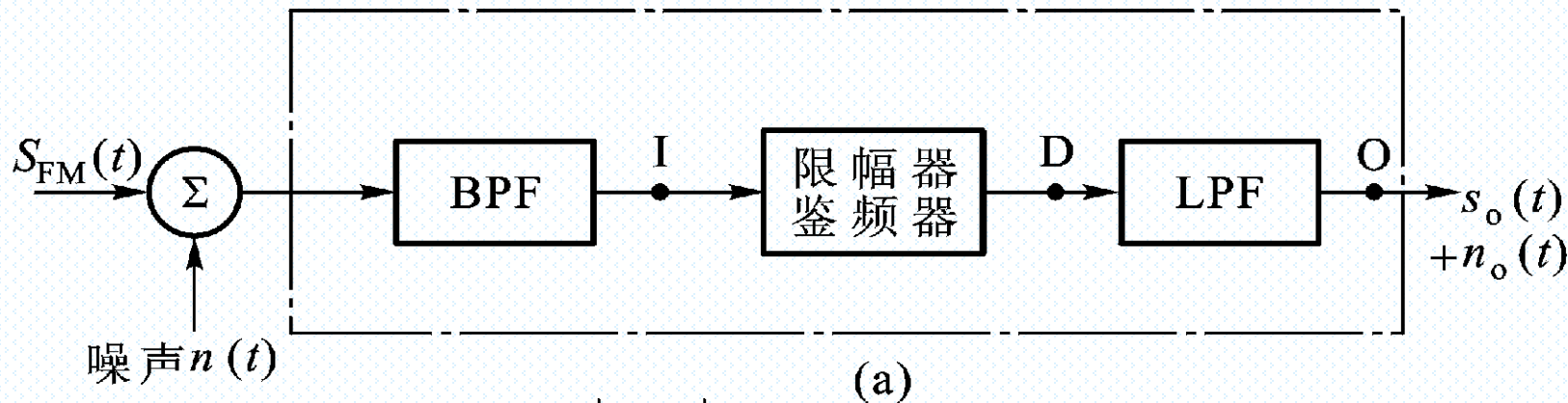
$$\left(D_{FM} = \frac{\Delta \omega_{max}}{\omega_m} = \frac{\Delta f_{max}}{f_m}, \Delta f_{rms} < \Delta f_{max} \right)$$

它说明，在窄带调频的情况下，相干解调时的调制制度增益不超过6，或者7.8 dB。

6.5.2 宽带调频系统的抗噪声性能



宽带调频信号采用非相干方式解调，系统分析模型如下图：



6.5.2 宽带调频系统的抗噪声性能



调频信号经带通滤波器后为

$$S_{FM}(t) = A \cos[\omega_0 t + K_F \int_{-\infty}^t f(t) dt]$$

因而, i 点的信号功率为 $S_i = \frac{A^2}{2}$

i 点的窄带噪声为高斯白噪声经带通滤波器后的输出。

噪声功率为 $N_i = n_0 B$

故, 解调器输入端信噪比为

$$\frac{S_i}{N_i} = \frac{A^2}{2n_0 B}$$

下面计算解调器输出端的信噪比

6.5.2 宽带调频系统的抗噪声性能



FM是一种非线性变换过程，解调器输出端的噪声与信号的存在与否有关。可以证明，在大信噪比的条件下，可以分别计算信号与噪声的输出功率。

信号部分

假定输入噪声为零，这时鉴频器的输出电压比例于输入信号的频率偏移（ $S_{FM}(t) = A \cos[\omega_0 t + K_F \int_{-\infty}^t f(t) dt]$ ）。

设鉴频器的比例常数（或称增益）为 K_d ，那么解调器输出端的信号为

$$S_o(t) = K_d K_F f(t)$$

信号功率为

$$S_o = \overline{S_o^2(t)} = K_d^2 K_F^2 \overline{f^2(t)}$$



6.5.2 宽带调频系统的抗噪声性能

噪声部分

假定调制信号 $f(t)$ 为零，这时解调器的输入端为载波与窄带噪声之和，为

$$\begin{aligned} A\cos(\omega_0 t + \theta_0) + n_i(t) &= [A + n_c(t)]\cos(\omega_0 t + \theta_0) - n_s(t)\sin(\omega_0 t + \theta_0) \\ &= A(t)\cos[\omega_0 t + \varphi(t)] \end{aligned}$$

$$\text{其中 } A(t) = \sqrt{[A + n_c(t)]^2 + n_s^2(t)} \quad \varphi(t) = \text{tg}^{-1}\left[\frac{n_s(t)}{A + n_c(t)}\right]$$

在大信噪比条件下， A 远大于 $|n_c(t)|$ 、 $|n_s(t)|$ 。

利用 $\arctan x \approx x$ 关系式，则相位偏移可近似为：
$$\varphi(t) \approx \frac{n_s(t)}{A}$$

6.5.2 宽带调频系统的抗噪声性能



由于鉴频器的输出比例于输入信号的频率偏移，因而输出噪声为：

$$n_o(t) = K_d \frac{d\varphi(t)}{dt} = \frac{K_d}{A} \frac{dn_s(t)}{dt}$$

输出噪声功率为 $N_o = \overline{n_o^2(t)} = \left(\frac{K_d}{A}\right)^2 \int_{-f_m}^{f_m} P_0(f) df$

式中， $P_0(f)$ 为 $dn_s(t)/dt$ 功率谱密度， f_m 为LPF截止频率。

且： $P_0(f) = (2\pi f)^2 n_0 = 4\pi^2 n_0 f^2 \quad |f| \leq B/2$

最后，积分可得 $N_o = \frac{8\pi^2 K_d^2 n_0 f_m^3}{3A^2}$

6.5.2 宽带调频系统的抗噪声性能



故有，解调器输出端信噪比为

$$\frac{S_o}{N_o} = \frac{3A^2 K_F^2 \overline{f^2(t)}}{8\pi^2 n_0 f_m^3} = \frac{3A^2}{2n_0 f_m} \left(\frac{\Delta f_{\max}}{f_m} \right)^2 \frac{\overline{f^2(t)}}{|f(t)|_{\max}^2}$$

式中， $\Delta f_{\max} = \frac{1}{2\pi} K_F |f(t)|_{\max}$ 为最大频率偏移值。

讨论：

- (1) FM系统输出噪声功率谱与 f^2 成正比，而输出信号平均功率与 f 无关。因而输出端信噪比随基带信号频率的增加而下降，或者说基带信号高频端信噪比要比低频端信噪比低。

6.5.2 宽带调频系统的抗噪声性能



(2) 由于频率偏移率 $D_{FM} = \frac{\Delta f_{\max}}{f_m}$, 当 f_m 为常数时, 频率偏移与 Δf_{\max} 成正比, 因此, 可通过 Δf_{\max} 增加来增加频率偏移率。

$$\frac{S_i}{N_i} = \frac{A^2}{2n_0B} = \frac{A^2}{4n_0\Delta f_{\max}} = \frac{A^2}{4n_0f_m} \left(\frac{f_m}{\Delta f_{\max}} \right)$$

$$\frac{S_o}{N_o} = \frac{3A^2 K_F^2 \overline{f^2(t)}}{8\pi^2 n_0 f_m^3} = \frac{3A^2}{2n_0 f_m} \left(\frac{\Delta f_{\max}}{f_m} \right)^2 \frac{\overline{f^2(t)}}{|f(t)|_{\max}^2}$$

6.5.2 宽带调频系统的抗噪声性能



可通过增加频率偏移来增加频率偏移率，从而输出信噪比得到净改善是可能的，但这种净改善只有当输入信噪比高于某一个门限值时，才是可能的。当输入信噪比低于门限值时，将出现门限效应。

6.5.2 宽带调频系统的抗噪声性能



(3) 调频系统的调制制度增益(信噪比增益)为

$$G_{FM} = \frac{S_o/N_o}{S_i/N_i} = 6 \left(\frac{\Delta f_{\max}}{f_m} \right)^3 \frac{\overline{f^2(t)}}{|f(t)|_{\max}^2} = 6D_{FM}^3 \frac{\overline{f^2(t)}}{|f(t)|_{\max}^2}$$

在简谐信号调制情况下，频率偏移率为调频指数，

且 $\overline{f^2(t)}/|f(t)|_{\max}^2 = 1/2$ ，因此有

$$G_{FM} = 3\beta_{FM}^3$$

[例] 调频广播中，常取 $\beta_{FM} = 5$ ，此时 G_{FM} 为 375。可见它比任何一种幅度调制方式都优越。

6.5.2 宽带调频系统的抗噪声性能



(4) 与AM系统噪声特性比较

为简单起见，假设调频与调幅系统中均为简谐信号调制，而且两者的输入信号功率相等，信道噪声的功率谱密度相同，AM系统的调幅指数为1。

包络检波时，AM系统中解调器输出端的信噪比由式(5.110)给出，为

$$\left(\frac{S_o}{N_o}\right)_{AM} = \frac{\overline{f^2(t)}}{2n_0f_m} = \frac{A_m^2/2}{2n_0f_m} \quad (f(t) = A_m \cos \omega_m t)$$

6.5.2 宽带调频系统的抗噪声性能



调频系统的输出信噪比为

$$\left(\frac{S_o}{N_o}\right)_{FM} = \frac{3A^2}{2n_0f_m} \left(\frac{\Delta f_{\max}}{f_m}\right)^2 \frac{\overline{f^2(t)}}{|f(t)|_{\max}^2} = \frac{3A^2}{4n_0f_m} \beta_{FM}^2$$

FM与AM系统输出端信噪比为

$$\left(\frac{S_o}{N_o}\right)_{FM} / \left(\frac{S_o}{N_o}\right)_{AM} = \frac{9}{2} \beta_{FM}^2$$

如 $\beta_{FM} = 5$ 时，调频信号输出信噪比是调幅信号的112.5倍。这就是为什么调频广播的音质好于调幅广播的原因。

6.5.2 宽带调频系统的抗噪声性能



(5) 宽带调频系统抗噪性能的优越性是用带宽换来的。

当 $\beta_{FM} \gg 1$ 时,有

$$B_{FM} = 2(\beta_{FM} + 1) f_m = (\beta_{FM} + 1) B_{AM}$$

$$\left(\frac{S_o}{N_o}\right)_{FM} \bigg/ \left(\frac{S_o}{N_o}\right)_{AM} \approx 4.5 \left(\frac{B_{FM}}{B_{AM}}\right)^2$$

对FM系统来说, 增加传输带宽可以使输出信噪比增大。即FM信号具有带宽与信噪比互换的特性。这实际上体现了通信系统中有效性与可靠性互换的性质。对AM信号来说, 由于其传输带宽是固定的, 因而不能实现带宽与信噪比互换。

6.6加重措施对噪声特性的改善



为什么加重？

由于调频解调器输出噪声功率谱密度与 f^2 成正比，而输出信号功率谱密度并没有这种关系。因而在输出信号频谱高端的信噪比会比低端信噪比小。

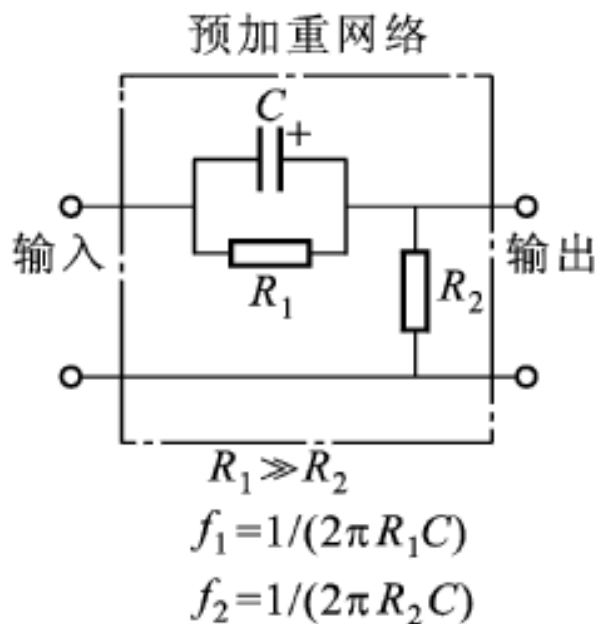
预加重：发送端对信号高频分量的提升过程。

去加重：接收端解调之后对信号高频分量的压低过程。

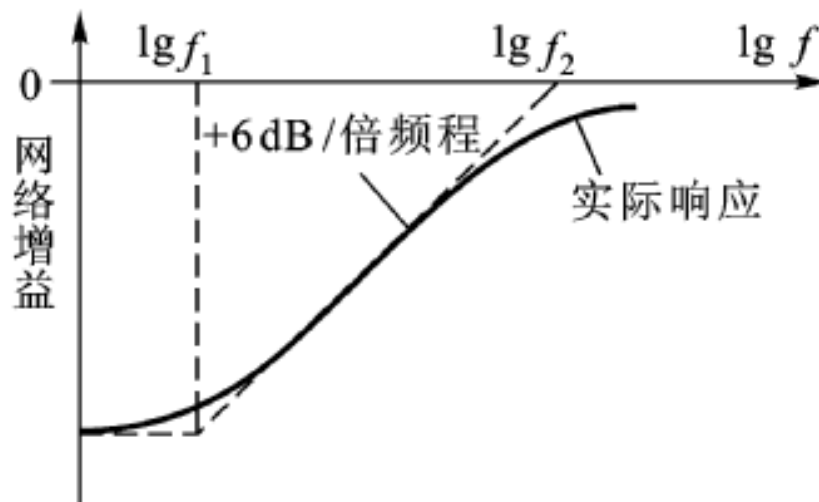


(a) 带有加重滤波器的 FM 系统

6.6加重措施对噪声特性的改善



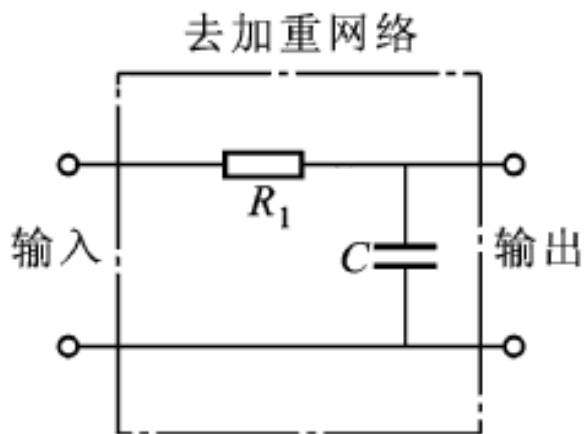
(b) 典型的预加重网络



(c) 响应

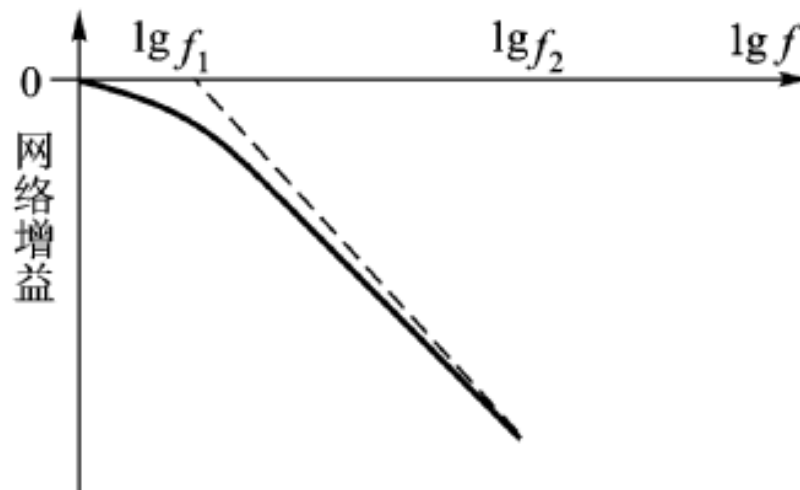
实际调频广播系统中预加重滤波器幅频特性

6.6加重措施对噪声特性的改善



$$f_1 = 1/(2\pi R_1 C)$$

(d) 相应的去加重网络



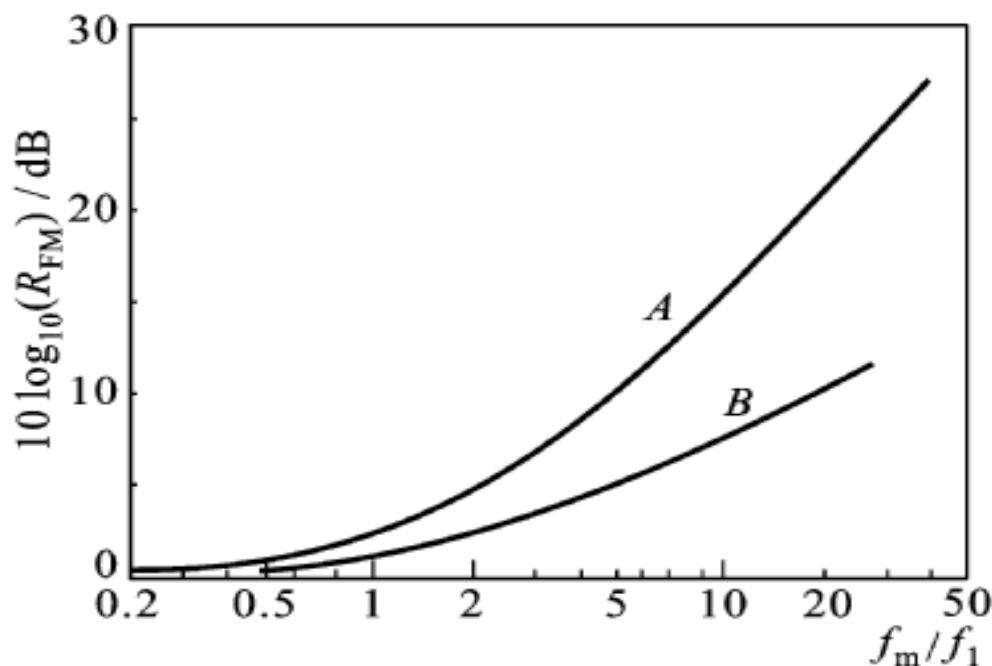
(e) 响应

实际调频广播系统中去加重滤波器幅频特性

6.6 加重措施对噪声特性的改善



[例] 调频广播系统中，调制信号的最高频率为 $f_m = 15$ kHz，去加重网络的带宽 $f_1 = 2.1$ kHz，这时可算出输出信噪比增益为 13.3 dB。 R_{FM} 与 f_m/f_1 的关系如图中曲线 A 所示。

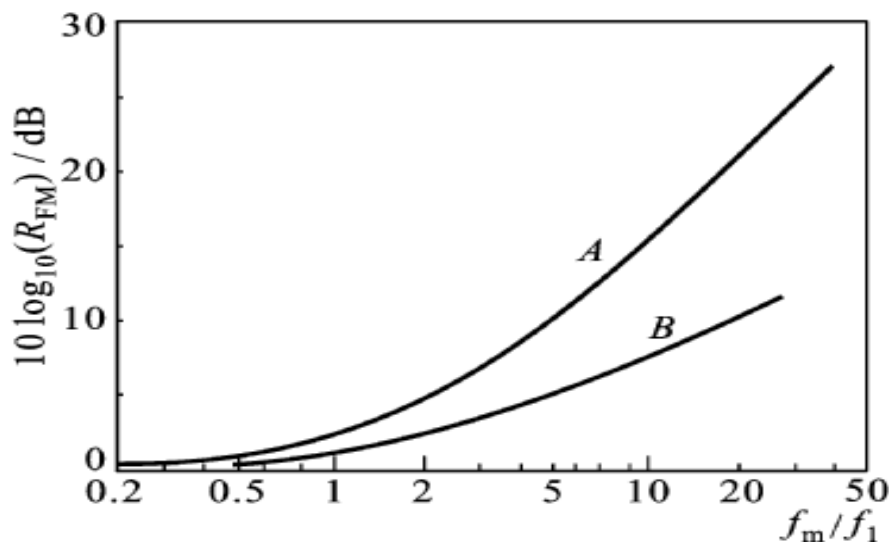


输出信噪比增益 $R_{FM} =$
$$\frac{\text{加重前噪声功率}}{\text{加重后噪声功率}}$$

6.6 加重措施对噪声特性的改善



[例] 当 $f_m = 15 \text{ kHz}$, $f_1 = 2.1 \text{ kHz}$ 时, $K = -7 \text{ dB}$ 。因此输出信噪比实际改善值不是 13.3 dB , 而是 6.3 dB 。考虑到带宽受限时增益与频率的关系如图中的曲线 B 所示。



加重技术应用实例：调频系统，音频传输和录音系统，如音频设备中杜比 (Dolby) 降噪系统。

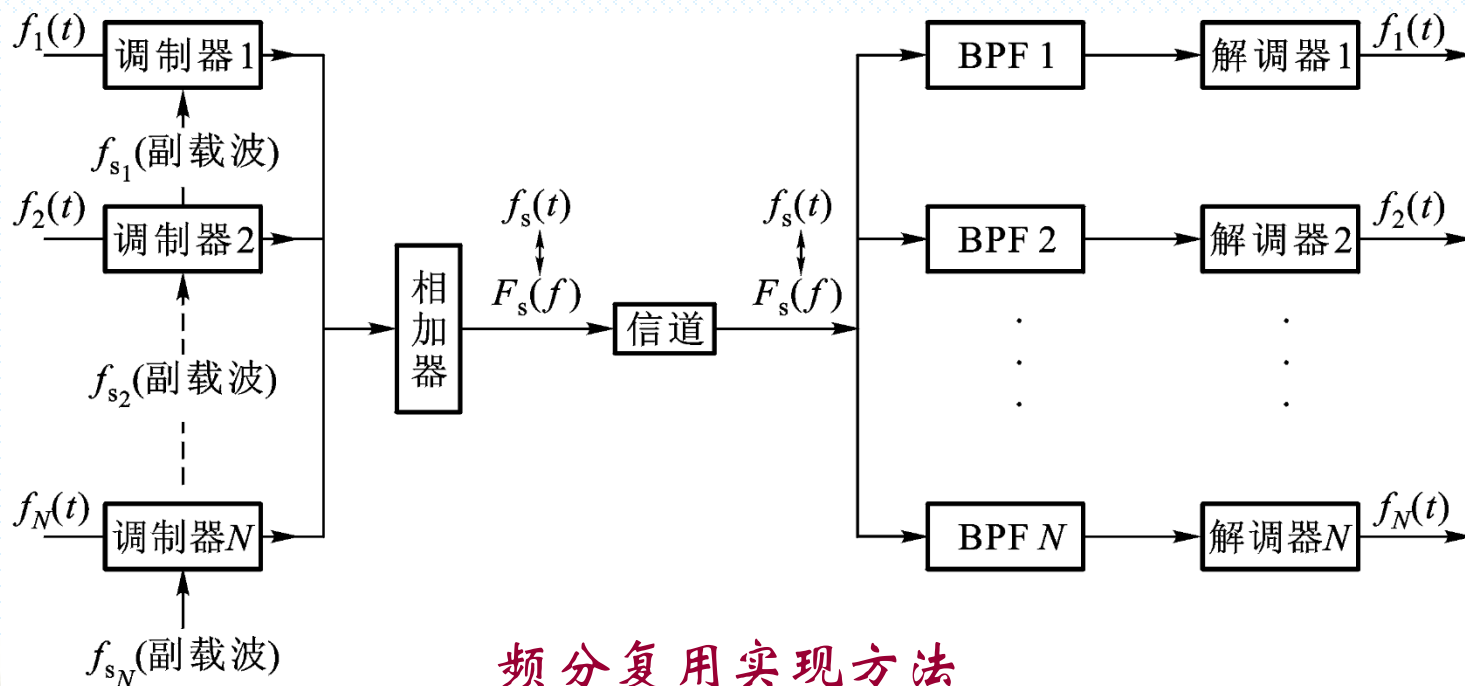
6.7 频分复用 (FDM)



复用概念: 利用一个信道同时传输多路信号的技术

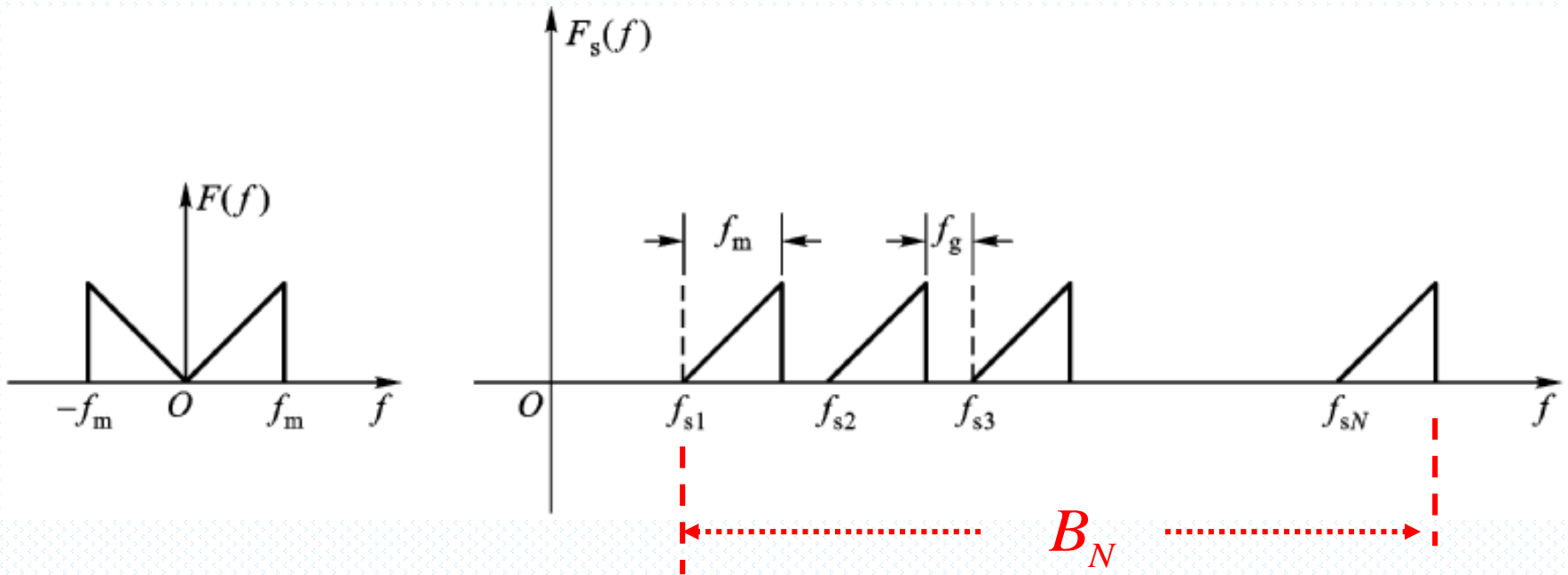
复用目的: 提高信道利用率

复用方式: 频分复用 (FDM *Frequency Division Multiplexing*)、
时分复用 (TDM *Time Division Multiplexing*)



频分复用实现方法

6.7 频分复用 (FDM)



采用SSB方式复用信号频谱结构图

6.7 频分复用 (FDM)



复用后信号总频带宽度 (N 路信号复用)

$$B_N = Nf_m + (N-1)f_g = (N-1)B + f_m$$

$B = f_m + f_g$ 为一路信号占用的带宽

多路复用信号传输：信道内直接传输

但如采用无线方式（微波、卫星）传输时，还需将多路复用信号进行二次调制，这时系统称为**多级调制系统**

二次调制可以采用调幅、调频或调相中任意一种方式，但从抗干扰性能考虑，调频方式最好。如在多路微波电话传输系统中，常采用FDM-SSB/FM多级调制方式

各种幅度调制系统性能比较



系统名称	AM	DSB	SSB (VSB)
信号表示式	$[A_0 + f(t)]\cos\omega_0 t$	$f(t)\cos\omega_0 t$	$f(t)\cos\omega_0 t \mp \hat{f}(t)\sin\omega_0 t$ (SSB, +为下边带, -为上边带)
输入信噪比 S_i/N_i	$[A_0^2 + \overline{f^2(t)}]/4n_0f_m$	$\overline{f^2(t)}/4n_0f_m$	$\overline{f^2(t)}/n_0f_m$
输出信噪比 S_o/N_o	$\overline{f^2(t)}/2n_0f_m$	$\overline{f^2(t)}/2n_0f_m$	$\overline{f^2(t)}/n_0f_m$
调制制度增益	$2\overline{f^2(t)}/[A_0^2 + \overline{f^2(t)}]$	2	1

频率调制与相位调制比较



内容 \ 调制方式	频率调制(FM)	相位调制 (PM)
表示式	$A \cos \left[\omega_0 t + K_F \int_{-\infty}^t f(t) dt \right]$	$A \cos[\omega_0 t + K_P f(t)]$
瞬时相位偏移 $\phi(t)$	$K_F \int_{-\infty}^t f(t) dt$	$K_P f(t)$
瞬时角频率偏移 $\Delta\omega(t) = \frac{d\phi(t)}{dt}$	$K_F f(t)$ 最大值 $\Delta\omega_{\max} = K_F f(t) _{\max}$	$K_P \frac{df(t)}{dt}$ 最大值 $\Delta\omega_{\max} = K_P \left. \frac{df(t)}{dt} \right _{\max}$
瞬时相位 $\theta(t)$	$\omega_0 t + K_F \int_{-\infty}^t f(t) dt$	$\omega_0 t + K_P f(t)$
瞬时角频率 $\omega(t) = \frac{d\theta(t)}{dt}$	$\omega_0 + K_F f(t)$	$\omega_0 + K_P \frac{df(t)}{dt}$



本章要求:

- 理解角度调制、频偏、调制指数、卡森带宽、加重、去加重及频分复用的概念;
- 掌握调频信号的频谱分析方法 (窄带);
- 掌握调频系统的调制、解调方法;
- 掌握调频系统抗噪声性能的分析方法 (同步);
- 了解调频系统与调幅系统的比较结果。



本章习题 (P.214) :

6-1、6-2、6-5、6-10、6-19

